

توسعه یک سیستم پشتیبانی تصمیم‌گیری مبتنی بر مدل‌های یادگیری ماشین برای مدیریت پایدار فرسایش بادی

جواد مؤمنی دمنه^۱، هادی معماریان^{۲*}

پذیرش: ۱۴۰۳/۱۲/۲۷

دریافت: ۱۴۰۳/۱۱/۳۰

چکیده

این پژوهش با هدف توسعه روشی دقیق و جامع برای ارزیابی آسیب‌پذیری خاک در برابر فرسایش بادی انجام شد. فرسایش بادی به عنوان یک مسئله مهم زیست‌محیطی، می‌تواند منجر به عواقب جبران‌ناپذیری مانند از دست دادن خاک، تخریب زیستگاه‌ها و آلودگی منابع آب شود. برای کاهش اثرات مخرب این پدیده، نقشه‌برداری دقیق از حساسیت اراضی به فرسایش بادی امری ضروری است. با تلفیق مدل‌سازی فضایی و یادگیری ماشین، طیف گسترده‌ای از مدل‌های آماری پیشرفته و الگوریتم‌های یادگیری ماشین مورد بررسی قرار گرفت. برای ارزیابی فرسایش بادی در منطقه مورد مطالعه، روشی چندمرحله‌ای به کار گرفته شد. نقشه‌های توپوگرافی، پوشش گیاهی، خاک و داده‌های زمین‌شناسی با استفاده از سیستم اطلاعات جغرافیایی یکپارچه شدند. درمجموع ۲۵ متغیر محیطی مورد تجزیه و تحلیل قرار گرفت که ۲۳ متغیر براساس ضریب تورم واریانس کمترین میزان هم‌خطی را دارا بودند؛ برای مدل‌سازی انتخاب شدند. طیف وسیعی از الگوریتم‌های یادگیری ماشین اعمال شد و درنهایت مدل اجماعی به عنوان دقیق‌ترین مدل شناخته شد و به طور مؤثر مناطق مستعد فرسایش بادی را پیش‌بینی کرد. متغیرهای محیطی مؤثر که اهمیت بالایی در ایجاد فرسایش داشتند شامل تراکم زهکشی، گروه‌های هیدرولوژیکی، فراوانی سنگ و قلوه‌سنگ، درصد خاک بدون پوشش گیاهی، شیب، میانگین دمای هوای پوشش گیاهی که به ترتیب $12/22$ ، $11/52$ ، $9/90$ ، $7/25$ ، $7/91$ ، $6/66$ و $5/31$ درصد بودند. نقشه‌های تولید شده می‌توانند به عنوان ابزاری ارزشمند برای برنامه‌ریزی و اجرای اقدامات کنترل فرسایش مورد استفاده قرار گیرند.

کلیدواژه‌ها: حساسیت به فرسایش، ارزیابی خطر، داده‌های سنجش از دور، داده‌های مکانی، مدل‌های ترکیبی، مدیریت منابع طبیعی.

۱. دانشآموخته دکتری بیابان‌زادایی، گروه مهندسی منابع طبیعی، دانشکده کشاورزی و منابع طبیعی، دانشگاه هرمزگان، بندرعباس، ایران؛ j.momenidamaneh.phd@hormozgan.ac.ir

۲. دانشیار دانشکده منابع طبیعی و محیط‌زیست، دانشگاه بیرجند، ایران، نویسنده مسئول؛ hadi_memarian@birjand.ac.ir

مقدمه

و همکاران، ۲۰۲۲). ترکیب هوشمندانه مدل‌سازی فضایی و یادگیری ماشین، تحولی شکرف در پیش‌بینی و تحلیل آسیب‌پذیری اجتماعی-اقتصادی خاک در برابر فرسایش ایجاد کرده است. الگوریتم‌های یادگیری ماشینی متنوعی همچون جنگل تصادفی (RF^۹، شبکه‌های عصبی مصنوعی (ANN^{۱۰}، ماشین‌های بردار پشتیبان (SVM^{۱۱}، مدل‌های خطی تعمیم‌یافته (GLM^{۱۲}) و... قادرند روابط پیچیده و غیرخطی میان عوامل محیطی و آسیب‌پذیری خاک را به طور دقیق شناسایی و مدل‌سازی کنند. این در حالی است که مدل‌های سنتی در درک کامل این پیچیدگی‌ها ناتوان هستند (گاین^{۱۳} و همکاران، ۲۰۱۹؛ الباوی^{۱۴} و همکاران، ۲۰۲۱). با تلفیق این دو رویکرد بهره‌گیری از قدرت سیستم اطلاعات جغرافیایی و داده‌های سنجش از دور، امکان ترسیم دقیق الگوهای مکانی آسیب‌پذیری خاک و پیش‌بینی روند فرسایش در مناطق مختلف فراهم شده است. این رویکرد مبتنی بر داده، به مدل‌ها اجازه می‌دهد تا با استفاده از حجم عظیمی از داده‌ها، خود را با شرایط مختلف جغرافیایی تطبیق دهند و دقت پیش‌بینی‌ها را به طور چشمگیری افزایش دهند (اولی و همکاران، ۲۰۲۲). علاوه بر این، با استفاده از عوامل طبقه‌بندی شده و وزن دار که متناسب با شرایط محیطی محلی تنظیم می‌شوند، دقت پیش‌بینی‌ها به طور قابل توجهی بهبود می‌یابد. این هم‌افزایی قدرتمند، ابزاری ارزشمند برای مدیریت بهینه زمین و توسعه راهبردهای مؤثر در پیشگیری از فرسایش خاک در اختیار ما قرار می‌دهد. در واقع، این ترکیب نوآورانه به ما امکان می‌دهد تا با دقت پیشتری مناطق در معرض خطر فرسایش را شناسایی کرده و اقدامات پیشگیرانه مناسب را به موقع انجام دهیم.

اکثر مطالعات اخیر که از الگوریتم‌های یادگیری ماشین برای پیش‌بینی آسیب‌پذیری خاک در برابر فرسایش بهره می‌گیرند، به طور معمول از داده‌های پیوسته و نرمال‌شده به عنوان ورودی استفاده می‌کنند و از طبقه‌بندی گستته یا وزن‌دهی مبتنی بر دانش کارشناسان صرف نظر می‌کنند. این رویکرد، به دلیل ماهیت

فرسایش خاک به عنوان یکی از جدی‌ترین چالش‌های زیست‌محیطی عصر حاضر، همچنان اکوسيستم‌ها، کشاورزی و زیرساخت‌های بسیاری را در سراسر جهان تحت تأثیر قرار می‌دهد (اولی^۱ و همکاران، ۲۰۲۳). خاک حاصلخیز، این منبع ارزشمند و حیاتی، در معرض تهدید جدی فرسایش قرار دارد. این پدیده نه تنها به تخریب پوشش گیاهی و آلودگی منابع آب منجر می‌شود، بلکه امنیت غذایی، تنوع زیستی (ارابameri^۲ و همکاران، ۲۰۱۹) و پایداری اقتصادی جوامع (Almouctar^۳ و همکاران، ۲۰۲۱) را نیز به مخاطره می‌اندازد. لذا پیش‌بینی و مدیریت دقیق حساسیت فرسایش خاک (SES^۴) به عنوان یک ضرورت اجتناب‌ناپذیر برای حفاظت از محیط‌زیست و جلوگیری از تخریب خاک مطرح می‌شود (کاکوکار و سدانوگیرالدو، ۲۰۲۲^۵). در این راستا، توسعه مدل‌های دقیق و قابل اعتماد که قادر به پیش‌بینی حساسیت مناطق مختلف به فرسایش باشند، گامی مؤثر در جهت مقابله با این معطل جهانی خواهد بود. مدل‌سازی سیستم‌های اکولوژیکی-خاکی به منظور پیش‌بینی فرسایش خاک، به طور سنتی بر پایه رویکردهای تجربی استوار بوده است. این رویکردها با استفاده از داده‌های تاریخی و روابط آماری ساده، به مدل‌سازی الگوهای فرسایش خاک می‌پردازند (ساینی^۶ و همکاران، ۲۰۱۵). با این حال، ماهیت پیچیده و چندمتغیره فرایند فرسایش خاک که تحت تأثیر عوامل متعدد از جمله شدت بارندگی، نوع خاک، کاربری زمین و توبوگرافی قرار دارد، فراتر از توان مدل‌های ساده آماری است (اولی^۷ و همکاران، ۲۰۲۴). درنتیجه، با توجه به پیچیدگی روزافزون پدیده فرسایش خاک، ضرورت توسعه مدل‌های پیچیده‌تر و قدرتمندتری که قادر به شبیه‌سازی دقیق این پیچیدگی‌ها و ارائه پیش‌بینی‌های دقیق تر باشند، بیش از پیش احساس می‌شود (کاکوکار و سدانوگیرالدو، ۲۰۲۲^۸؛ گلیجانی^۹ و

-
1. Olii
 2. Arabameri
 3. Almouctar
 4. soil erosion susceptibility
 5. Kucuker & Cedano Giraldo
 6. Saini
 7. Olii
 8. Golijanin

9. Random Forest

10. Artificial Neural Network

11. Support Vector Machine

12. Generalized Liner Model

13. Gayen

14. Al-Bawi

توجه به ماهیت غیرخطی و پیچیده روابط بین متغیرهای محیطی و آسیب‌پذیری خاک، از مدل‌های یادگیری ماشینی با قابلیت یادگیری الگوهای پیچیده استفاده شده است. یکی از نوآوری‌های این پژوهش، استفاده از رویکرد مدل‌سازی جغرافیایی برای در نظر گرفتن تغییرات مکانی آسیب‌پذیری خاک است. با تلفیق داده‌های مکانی و مدل‌های پیش‌بینی، می‌توان نقشه‌های دقیق‌تری از پراکنش آسیب‌پذیری خاک در یک منطقه تهیه کرد. این نقشه‌ها می‌توانند به عنوان ابزاری کارآمد برای برنامه‌ریزی و مدیریت پایدار منابع خاک مورد استفاده قرار گیرند. یافته‌های این پژوهش نه تنها به بهبود درک ما از نقاط قوت و محدودیت‌های مدل‌های یادگیری ماشین در حوزه مدل‌سازی محیطی کمک خواهد کرد، بلکه می‌تواند به عنوان یک پایه مستحکم برای تحقیقات آتی در زمینه ادغام رویکردهای آماری و یادگیری ماشین در مدل‌سازی جغرافیایی فرایش خاک نیز مورد استفاده قرار گیرد. به طور کلی، نتایج این مطالعه می‌تواند در ارتقای دقت و قابلیت اطمینان ارزیابی‌های آسیب‌پذیری خاک در برابر فرایش و درنتیجه، بهبود مدیریت منابع طبیعی و محیط‌زیست، نقش مؤثری ایفا نماید. با شناسایی مناطق با آسیب‌پذیری بالا، می‌توان اقدامات حفاظتی مناسب‌تری را برای کاهش فرایش خاک و حفظ حاصلخیزی آن برنامه‌ریزی کرد.

مواد و روش‌ها

منطقه مطالعه‌شده

حوزه آبخیز مختاران با وسعتی بالغ بر ۲۴۲۱ کیلومتر مربع در جنوب ارتفاعات باقران و در استان خراسان جنوبی واقع شده است. این حوزه از نظر جغرافیایی بین مختصات طول جغرافیایی "۱۸° ۲۵' ۳۶" تا "۳۱° ۴۳' شمالی گسترده شده است (شکل ۱). شکل کلی این حوزه، کشیدگی بیشتری در جهت شرق به غرب (هم راستا با دشت) نسبت به شمال به جنوب دارد. تنوع توپوگرافی در این منطقه بسیار چشمگیر بوده و شامل کوهستان‌ها، تپه‌ماهورها، دشت‌های وسیع، کویر و دهانه‌های فاقد پوشش گیاهی می‌شود. براساس طبقه‌بندی اقلیمی دومارتون اصلاح شده، اقلیم حاکم بر دشت‌ها و کوهپایه‌های این حوزه،

پیوسته داده‌ها و عدم لحاظ تجربیات کارشناسان، ممکن است منجر به ایجاد مدل‌هایی با قابلیت تعییر کمتر و کاهش دقت پیش‌بینی شود. درنتیجه، ضرورت توسعه روش‌های پیچیده‌تری که بتوانند دانش تخصصی را با مدل‌های یادگیری ماشین تلفیق نمایند، بیش از پیش احساس می‌شود. این امر به منظور بهبود قابلیت اطمینان و کارایی عملی ارزیابی‌های آسیب‌پذیری خاک، شکافی را در ادبیات پژوهشی ایجاد کرده است که نیازمند توجه بیشتر محققان است (هانگ^۱ و همکاران، ۲۰۲۳؛ گلکاریان^۲ و همکاران، ۲۰۲۳؛ فینزی و اسزابو،^۳ ۲۰۲۴).

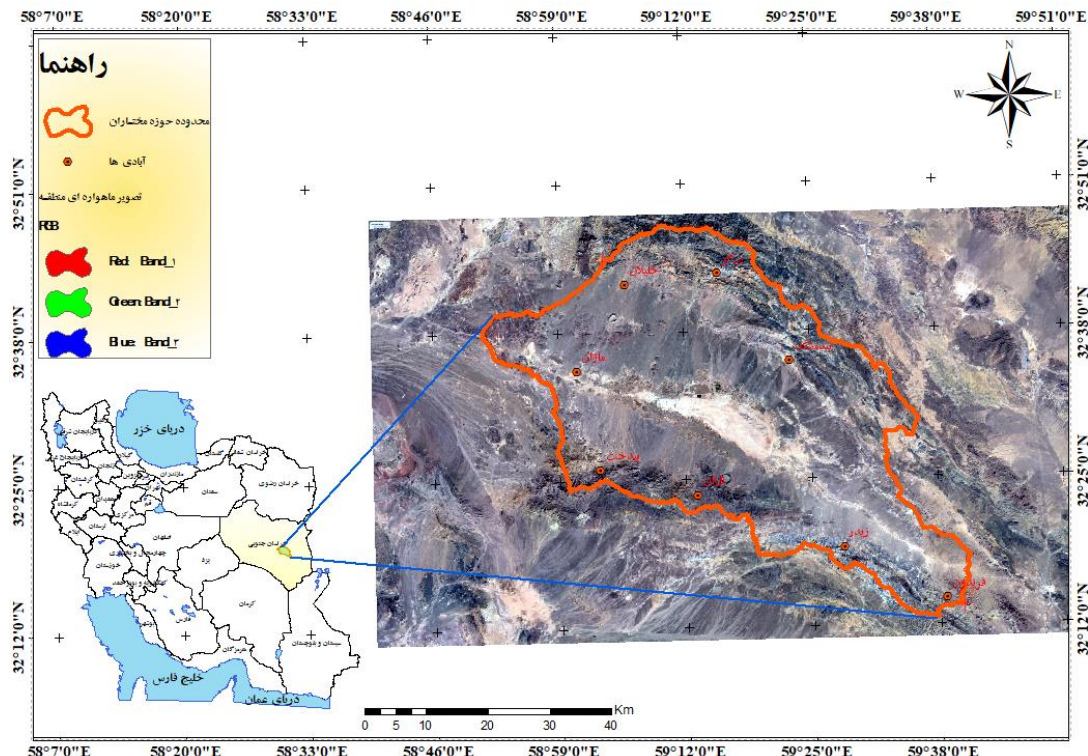
هدف اصلی این پژوهش، پر کردن شکاف موجود در مطالعات پیشین و ارائه یک رویکرد نوین و جامع‌تر برای ارزیابی آسیب‌پذیری خاک در برابر فرایش خاک و تأثیر متقابل عوامل محیطی متعدد بر آن، استفاده از مدل‌های پیشرفته آماری و یادگیری ماشین به عنوان ابزاری قدرتمند برای پیش‌بینی و ارزیابی این پدیده ضروری به نظر می‌رسد. در این پژوهش، با تمرکز بر مقایسه کارایی طیف گسترده‌ای از مدل‌های پیشرفته از جمله رگرسیون خطی تعمیم‌یافته (GLM)، تقویت گرادیان (GBM)، آنالیز درخت طبقه‌بندی (CTA^۴)، شبکه‌های عصبی مصنوعی (ANN)، رگرسیون اسپلاین نمونه‌برداری (SRE^۵)، تحلیل عاملی تشخیصی (FDA^۶)، مدل‌های پاسخ چندگانه (MARS^۷)، جنگل تصادفی (RF) و حداکثر آنتروپی (MaxEnt^۹)، به دنبال توسعه یک مدل پیش‌بینی دقیق‌تر و قابل اعتمادتر هستیم. در این مطالعه، به صورت جامع و سیستماتیک به مقایسه عملکرد این مدل‌ها در پیش‌بینی آسیب‌پذیری خاک در شرایط محیطی مختلف پرداخته شده است. با بهره‌گیری از داده‌های متنوعی شامل ویژگی‌های خاک، توپوگرافی، پوشش گیاهی، کاربری زمین و متغیرهای اقلیمی، به بررسی تأثیر متقابل این عوامل بر روی دقت مدل‌ها پرداخته می‌شود. همچنین، با

1. Huang
2. Golkarian
3. Phinzi & Szabó
4. Generalized Boosting Method
5. Classification Tree Analysis
6. Surface Range Envelope
7. Flexible Denotative Analysis
8. Multivariate Adaptive Regression Spline
9. maximum entropy model

دماهی سالانه $5/6$ درجه سانتی گراد و حداقل دماهی سالانه $22/7$ درجه سانتی گراد گزارش شده است (معماریان و مؤمنی دمنه، ۲۰۲۴).

خشک و سرد و در ارتفاعات بالاتر از 2100 متر، خشک و بسیار سرد است. میزان بارندگی سالانه در این منطقه بین 150 تا 220 میلی متر متغیر بوده و عمدها در مناطق مرتفع تر بیشتر است.

همچنین، متوسط دماهی سالانه $14/3$ درجه سانتی گراد، حداقل



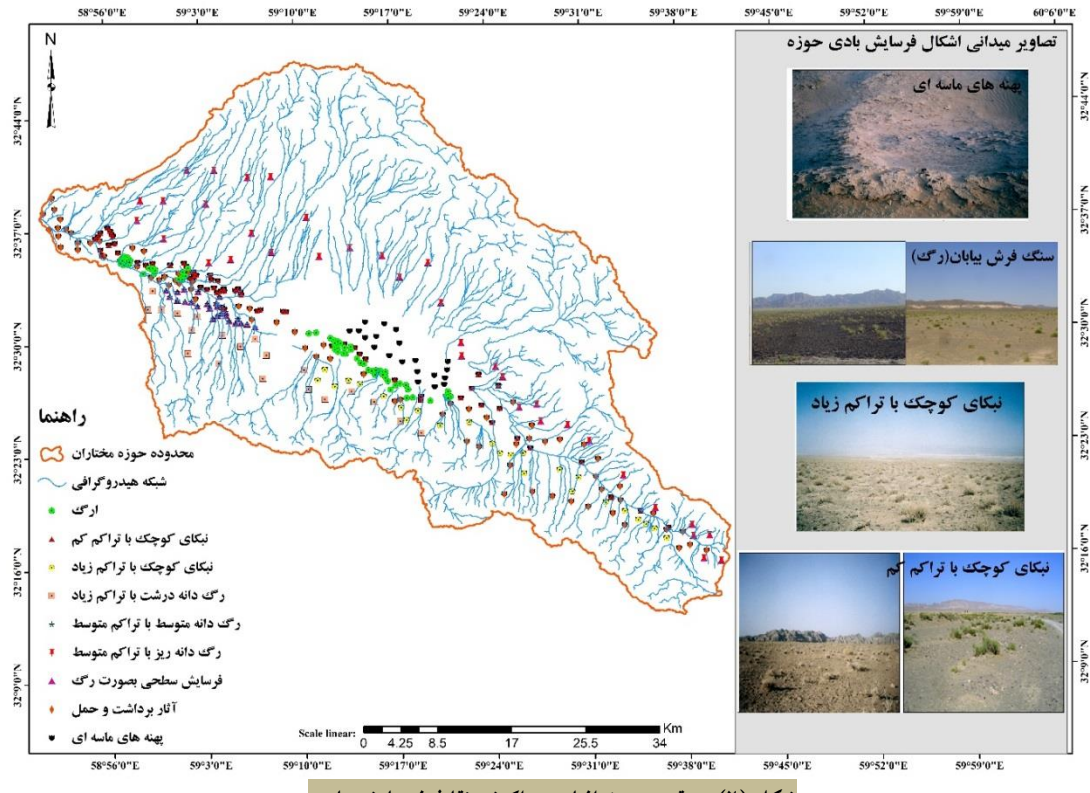
شکل (۱): موقعیت جغرافیایی منطقه مورد مطالعه
Figure (1): Geographical location of the study area

از دستگاه GPS، اشکال مختلف فرسایش بادی به دقت شناسایی و موقعیت مکانی آنها ثبت گردید. براساس مشاهدات میدانی، انواع مختلفی از اشکال فرسایشی شامل رگ،^۱ نیکای کوچک با تراکم کم،^۲ نیکای کوچک با تراکم زیاد،^۳ رگ دانه درشت با تراکم زیاد،^۴ رگ دانه متوسط با تراکم متوسط،^۵ رگ دانه ریز با تراکم متوسط،^۶ فرسایش سطحی به صورت رگ،^۷ آثار برداشت برداشت و حمل^۸ و پهنه های ماسه ای^۹ شناسایی شدند. تعداد هریک از این اشکال به ترتیب 70 ، 63 ، 25 ، 20 ، 36 ، 25 ، 20 ، 81 و 181 نقطه برداشت گردید (شکل ۲).

جمع آوری نقاط دارای فرسایش

در پژوهش حاضر، با هدف بررسی و تحلیل گستره فرسایش بادی در منطقه مورد مطالعه، ابتدا به جمع آوری داده های پایه پرداخته شد. این داده ها شامل نقشه های تفصیلی از شبکه آبراهه ها، شبی زمین، ویژگی های زمین شناسی، ژئومورفو لوژی، نوع خاک و کاربری اراضی بودند. این اطلاعات پایه، نقشه های جامع از منطقه را فراهم آورد که در ادامه برای تعیین واحد های کاری مورد استفاده قرار گرفت. در مرحله بعد، با بهره گیری از تصاویر هوایی با کیفیت بالا، اقدام به تفسیر دقیق تصاویر و شناسایی محدوده های تحت تأثیر فرسایش بادی شد. این مرحله به منظور تکمیل دقیق اشکال مختلف فرسایشی بر روی نقشه اولیه انجام گرفت. به منظور تأیید و تکمیل یافته های حاصل از تصاویر هوایی و مطالعات کتابخانه ای، بازدیدهای میدانی گستره ای در منطقه انجام شد. در طول این بازدیدها، با استفاده

1. Wind Erosion-ERG
2. Wind Erosion-N1d1
3. Wind Erosion-N1d3
4. Wind Erosion-R1d3
5. Wind Erosion-R2d2
6. Wind Erosion-R3d2
7. Wind Erosion-S
8. Wind Erosion-T
9. Wind Erosion-Z



شکل (۲): موقعیت جغرافیایی پراکنش نقاط فرسایش بادی
Figure (2): Geographical location of wind erosion points

متغیرها صورت گرفت. تمام مراحل پیش‌پردازش داده‌ها در نرم‌افزار Idrisi Selva انجام شد. برای انتخاب متغیرهای مناسب در مدل‌سازی، از تحلیل آماری و شاخص ضربی تورم واریانس (VIF) استفاده شد. براساس مطالعات پیشین (مؤمنی دمنه و همکاران، ۲۰۲۳؛ a۲۰۲۲؛ ۲۰۲۲)، متغیرهایی با VIF کمتر از ۱۰ Grid به عنوان متغیرهای مناسب انتخاب شدند و با فرمت به همراه نقاط حضور اشکال غالب فرسایش بادی برای انجام مدل‌سازی در نرم‌افزار R (نسخه ۴.۲.۳) فراخوانی شدند (شکل ۴الف و ب). همان‌طور که در مطالعات دیگر (کاتنر^۱ و همکاران، ۲۰۰۴؛ ساحا، ۲۰۱۷^۲؛ سرانی و سورلس، ۲۰۰۲^۳؛ شیرانی و همکاران، ۲۰۱۸^۴؛ پال^۵ و همکاران، ۲۰۲۰^۶) نیز بیان شده است، رابطه شاخص‌های VIF و Tolerance به این معناست که هرچه مقدار VIF کمتر باشد، مقدار Tolerance بیشتر خواهد بود و متغیر از همخطی کمتری برخوردار است. معادلات ۱ و ۲ (سرانی و سورلس، ۲۰۰۲^۳؛ شیرانی و همکاران، ۲۰۱۸^۴؛ پال^۵ و همکاران، ۲۰۲۰^۶) نیز این

تعیین متغیرهای محیطی

با بررسی مطالعات انجام‌شده و با توجه به ماهیت فرسایش بادی و منابع اطلاعاتی موجود در منطقه، ۲۵ متغیر مهم و مؤثر در فرسایش بادی شناسایی و لایه‌های اطلاعاتی آن‌ها از منابع مختلف تهیه شد (جلالی و همکاران، ۲۰۲۳). این متغیرها شامل ۵ متغیر فیزیوگرافیکی، ۲ متغیر اقلیمی، ۴ متغیر هیدرولوژیکی، ۸ متغیر خاک‌شناسی، ۴ متغیر پوشش سطحی زمین و ۲ متغیر زمین‌شناسی بودند (جدول ۱). متغیرهای فیزیوگرافیکی و ژئومورفولوژیکی از نقشه‌های توپوگرافی با مقیاس ۱:۲۵۰۰۰ سازمان نقشه‌برداری کشور استخراج شدند. داده‌های اقلیمی (بارش و تبخیر) از سازمان هواشناسی و آب منطقه‌ای تهیه شد. متغیرهای خاک‌شناسی، پوشش گیاهی و زمین‌شناسی نیز با مقیاس ۱:۵۰۰۰۰ براساس برداشت‌های میدانی و نقشه‌های ۱:۵۰۰۰۰ سازمان زمین‌شناسی ایران تهیه شدند. به‌منظور مبنای ۱:۱۰۰۰۰ سازمان زمین‌شناسی ایران تهیه شدند. یکپارچگی داده‌ها، تمامی لایه‌های اطلاعاتی با زمین مرجع یکپارچگی داده‌ها، تمامی لایه‌های اطلاعاتی با زمین مرجع واحد، سیستم مختصات یکسان و مقیاس مشترک ۲۰×۲۰ متر آماده‌سازی شدند. این انتخاب با توجه به دقت داده‌ها، قابلیت‌های نرم‌افزار، حجم داده‌ها، مقیاس مطالعه و همبستگی

1. Kutner
2. Saha
3. Craney & Surles
4. Pal

$$VIF = \left[\frac{1}{Tolerance} \right]$$

رابطه را به صورت ریاضی بیان می کنند. در این معادله، R^2i (۱)

$$Tolerance = 1 - R^2j^2$$

ضریب همبستگی معادله رگرسیون خطی و N تعداد کل متغیرهای مستقل است. (۲)

جدول (۱): فهرست متغیرهای تأثیرگذار در فرسایش بادی

Table (1): List of influential variables in Wind erosion modeling

دسته بندی	نام لاتین متغیر	نام متغیر	نام کوتاه	واحد اندازه گیری
اقلیمی	Annual precipitation	بارش سالانه	precipitation	mm
	Precipitation 24 hour	بارش ۲۴ ساعته	Precipitation 24 hour	mm
	Flooding	سیل خیزی	flooding	Unitless
	Runoff curve number	شماره منحنی رواناب	CN	Unitless
هیدرولوژیکی	Drainage density	تراسم زهکشی	densitywat	(Km/Km ²)
	Maximum storage capacity	حداکثر ظرفیت نگهداری	coefficien	mm
	Litter	لانسبرگ	dryplant	%
	Canopy inlet	تاج پوشش گاهی	crowncover	%
زمین	Stones pebbles	سنگ و سنگریزه	stonespebb	%
	Bare ground	خاک لخت	bareground	%
	Sand	ماسه	Sand	%
	Silt	سیلت	Silt	%
خاک شناسی	Clay	رس	Clay	%
	Hydrologic group	گروههای هیدرولوژیکی	soilhidro	Dimensionless
	Land units components	اجزای واحد اراضی	landsurc	Dimensionless
	Soil pH	اسیدیتۀ خاک	pH	pH * 10
زمین شناسی	Soil EC	هدایت الکتریکی خاک	EC	dsm/m
	T.N.V	درصد مواد خشی شونده	T.N. V	%
	Geology	زمین شناسی		Dimensionless
	Permeability	نفوذپذیری سازندهای زمین شناسی	permeabili	Dimensionless
فیزیو گرافی	DEM	مدل رقومی ارتفاع	DEM	m
	Topographic wetness index	شاخص رطوبت توپوگرافی	TWI	Dimensionless
	Stream power index	شاخص قدرت جریان	SPI	Dimensionless
	Aspect	جهت	aspect	Dimensionless
	Slope	شیب	Slope	%

ارزیابی مدل

مدل سازی فرسایش بادی

برای ارزیابی دقت مدل‌های مختلف، از سه شاخص آماری استفاده شده است.

روش اول، بررسی میزان ROC^۳؛ این روش بصری، توانایی مدل در تفکیک بین نقاطی را که فرسایش در آنها رخ می‌دهد و نقاطی که رخ نمی‌دهد، براساس متغیرهای محیطی ارزیابی می‌کند (فیلیدینگ و بل، ۱۹۹۷^۴).

در پژوهش حاضر، برای مدل سازی فرسایش بادی از ده الگوریتم موجود در بسته نرم افزاری بایومد^۱ (تیلر^۲ و همکاران، ۲۰۰۹) و همچنین به منظور تولید نقاط عدم حضور نیز از همین بسته نرم افزاری استفاده شد (جدول ۲). در روند مدل سازی از ۷۰ درصد نقاط موقعیت فرسایش غالب منطقه برای تولید مدل‌ها و از ۳۰ درصد نقاط حضور به منظور ارزیابی عملکرد مدل‌ها استفاده شد. همچنین برای افزایش دقت مدل سازی، تعداد تکرار ۵ در نظر گرفته شد.

3. receiver operating characteristic
4. Fielding and Bell

1. BIOMOD 2_3.3-7.1
2. Thuiller

جدول (۲): فهرست مدل‌های استفاده شده برای مدل‌سازی فرسایش بادی		
اختصاری	نام لاتین	نام فارسی
GLM	Generalized Liner Model	مدل تعمیم یافته خطی
GBM	Generalized Boosting Method	مدل تقویت شده
CTA	Classification Tree Analysis	تعمیم یافته آنالیز درخت طبقه‌بندی
ANN	Artificial Neural Network	شبکه عصبی مصنوعی
SRE	Surface Range Envelope	پاکت دامنه سطحی
FDA	Flexible Denotative Analysis	آنالیز تفکیکی انعطاف‌پذیر
MARS	Multivariate Adaptive Regression Spline	مدل رگرسیون سازشی چندمتغیره
RF	Random Forest	جنگل تصادفی
ESMs	Techniques and their ensembles	مدلهای اجتماعی
MaxEnt	maximum entropy model	حداکثر آنتروپویی

نتایج

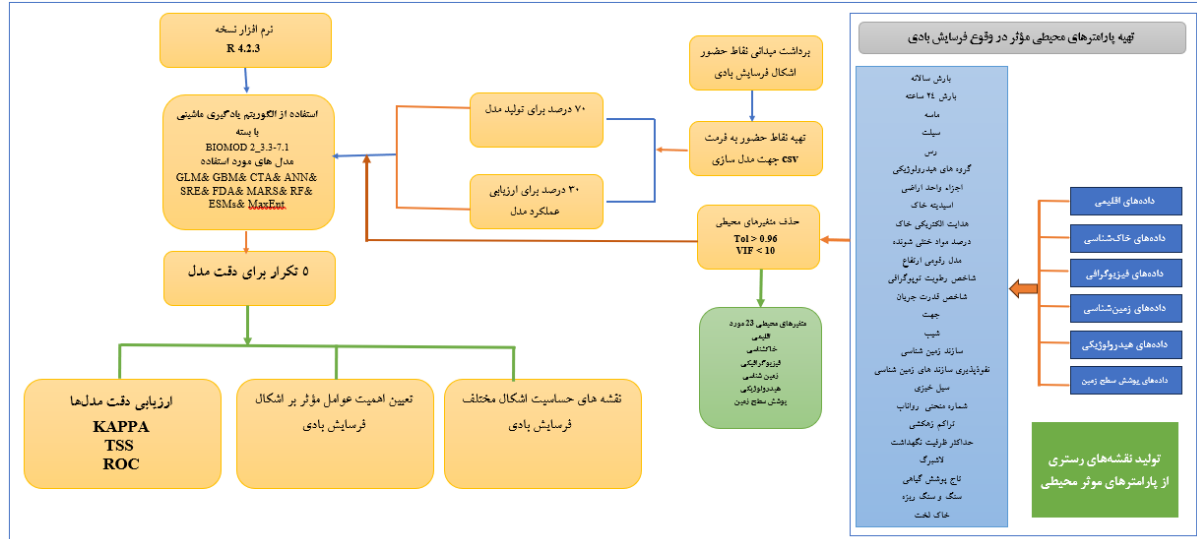
به منظور بررسی مشکل همخطی چندگانه در مدل پیش‌بینی، شاخص تورم واریانس (VIF) برای تمامی متغیرهای محیطی محاسبه شد. نتایج این آزمون که در جدول (۳) ارائه شده است، نشان می‌دهد که از میان ۲۵ متغیر محیطی، فقط ۲ متغیر دارای مقدار VIF بالاتر از ۱۰ بوده و از این‌رو، همبستگی چندگانه قابل توجهی با سایر متغیرها دارند. این دو متغیر از مدل نهایی حذف شدند (شکل ۴).

روش دوم، محاسبه میزان^۱ TSS برای مدل‌های حضور-عدم حضور طراحی شده و نشان‌دهنده توانایی مدل در تشخیص صحیح هر دو حالت حضور و عدم حضور فرسایش است (مؤمنی دمنه و همکاران، ۲۰۲۳). مطالعات نشان داده‌اند که ROC و TSS همبستگی بالایی دارند و TSS می‌تواند جایگزین مناسبی برای ROC در مطالعات حضور-عدم حضور باشد (والتر^۲ و همکاران، ۲۰۰۲؛ عماریان و مؤمنی دمنه، ۲۰۲۴).

روش سوم کاپای کوهن^۳ است که میزان توافق بین مدل و داده‌های واقعی را نشان می‌دهد و در واقع میزان اتفاق نظر بین دو ارزیاب (در اینجا مدل و داده‌ها) را در طبقه‌بندی موارد بررسی می‌کند (اسمتون، ۱۹۸۵؛ گاتن، ۱۹۸۲^۴).

TSS و Kappa^۵ ROC^۶ کمتر از ۰/۵ نشان‌دهنده عملکرد مدل‌سازی نامناسب، بین ۰/۵-۰/۶ عملکرد خیلی ضعیف، بین ۰/۶-۰/۷ عملکرد ضعیف، بین ۰/۷-۰/۸ عملکرد متوسط، بین ۰/۸-۰/۹ عملکرد خوب و ۰/۹-۱ نشان‌گر عملکرد بالا (مطلوب) در مدل‌سازی است (اسویتس، ۱۹۸۸؛ یای^۷ و همکاران، ۲۰۱۶؛ مؤمنی دمنه و همکاران، ۲۰۲۳). در ادامه برای دستیابی به یک نگرش جغرافیایی از مناطقی که دارای شرایط اقلیمی و محیطی مناسب برای اشکال فرسایشی مورد مطالعه‌اند، نقشه‌های حضور مطلوب به صورت گسسته و پیوسته به تصویر کشیده شده است (شکل ۷). نقشه حضور مطلوب به دست آمده بهوسیله مدل‌های مطلوبیت زیستگاه از ۰ تا ۱۰۰۰ می‌شوند. صفر برای کمترین احتمال و ۱۰۰۰ برای بیشترین احتمال است. برای درک بهتر پراکنش، نقشه در نرم‌افزار Arc GIS 10.5 به چهار طبقه شامل عرصه نامطلوب بین ۰ تا ۲۵۰، عرصه با مطلوبیت کم بین ۲۵۰ تا ۵۰۰، عرصه با مطلوبیت متوسط بین ۵۰۰ تا ۷۵۰ و عرصه مطلوب بین ۷۵۰ تا ۱۰۰۰ تقسیم‌بندی شد (مؤمنی دمنه و همکاران، ۲۰۲۲) (جدول ۴).

1. True Skill Statistic
2. Walther
3. Cohens Kappa
4. Smeeton
5. Galton
6. Swets
7. Yi



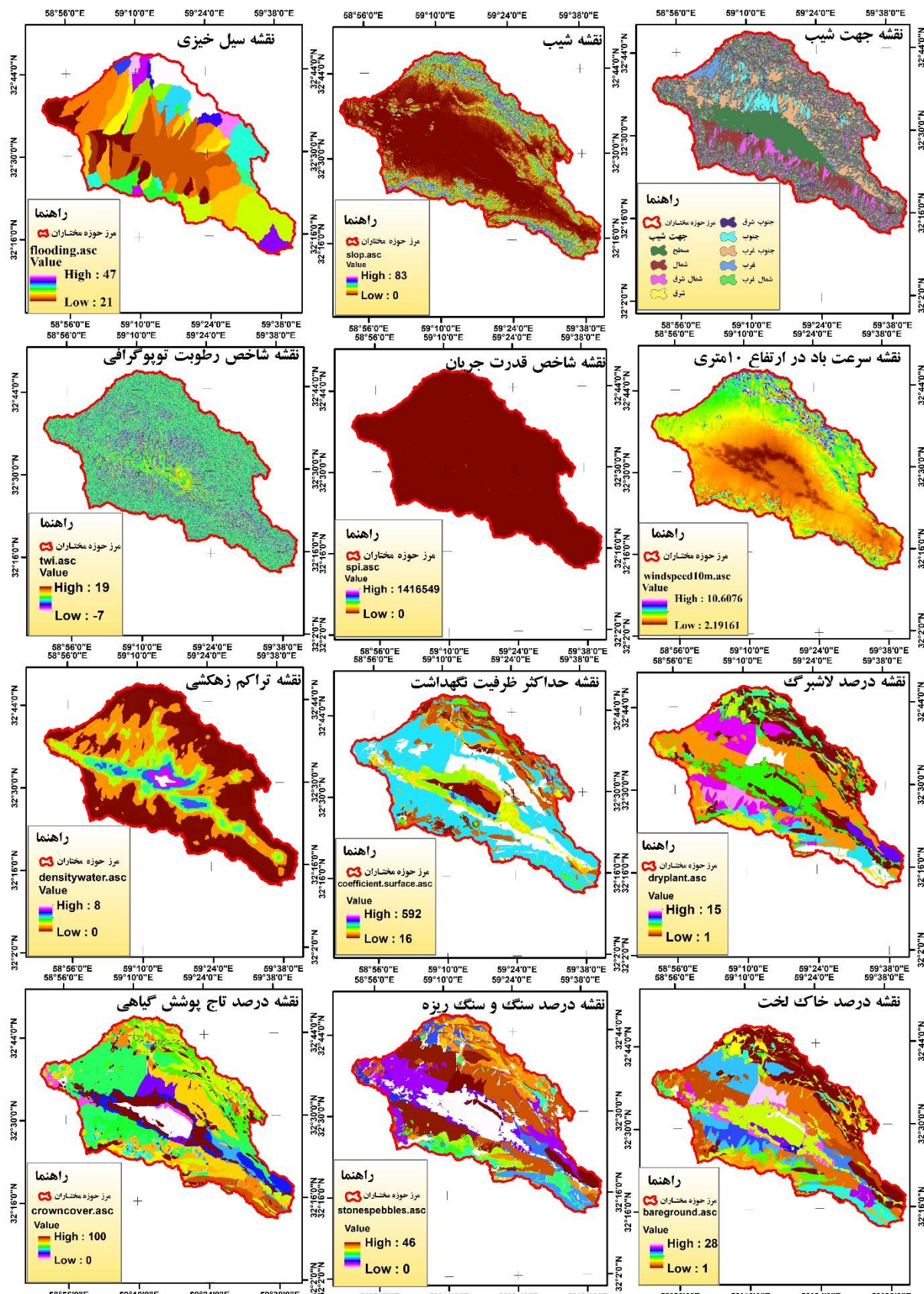
شکل (۳): فرایند انجام مدل سازی

Figure (3): The process of modeling

جدول (۳): تجزیه و تحلیل چندخطی برای ارزیابی خطی بودن متغیرهای مستقل

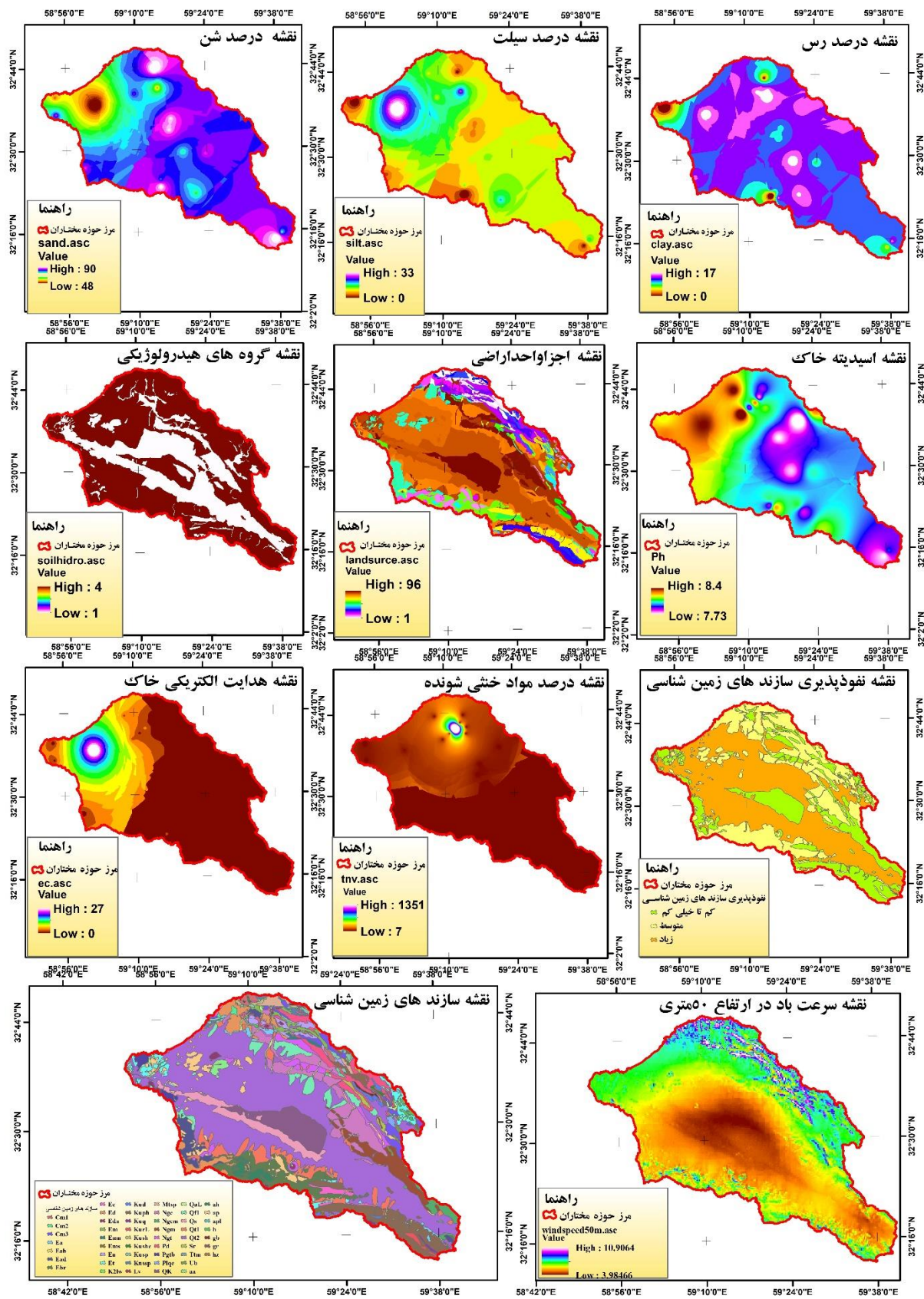
Table (3): Multilinear analysis to assess the linearity of independent variables

شخص	نام کوتاه	VIF	Tolerance
شاخص قدرت جریان	spi	۱/۰۴	۰/۹۶
شاخص رطوبت توپوگرافی	twi	۱/۰۵	۰/۹۵
جهت	aspect	۱/۱۷	۰/۸۵
درصد مواد خشک شونده	tnv	۱/۲۰	۰/۸۳
سنگ و سنگریزه	stonespebbles	۱/۷۲	۰/۵۸
تاج پوشش گیاهی	crowncover	۱/۷۳	۰/۵۸
اسیدیت خاک	ph	۱/۹۲	۰/۵۲
تراکم زهکشی	densitywater	۲/۰۷	۰/۴۸
خاک لخت	bareground	۲/۱۳	۰/۴۷
رس	clay	۲/۱۵	۰/۴۷
شیب	slop	۲/۱۸	۰/۴۶
لاشبیرگ	dryplant	۲/۱۸	۰/۴۶
حداکثر ظرفیت نگهداری	coefficient.surface	۲/۳۱	۰/۴۳
گروههای هیدرولوژیکی	soilhidro	۲/۳۳	۰/۴۳
نفوذپذیری سازندهای زمین شناسی	permeability	۲/۳۸	۰/۴۲
زمین شناسی	geology	۲/۷۲	۰/۳۷
سیل خیزی	flooding	۲/۷۹	۰/۳۶
اجراواحد اداری	landsurce	۳/۴۴	۰/۲۹
سرعت باد در ارتفاع ۱۰۰ متری	windspeed10m	۷/۱۶	۰/۱۴
هدایت الکتریکی خاک	ec	۷/۲۷	۰/۱۴
شن	sand	۸/۰۱	۰/۱۲
سیلت	silt	۸/۰۳	۰/۱۲
سرعت باد در ارتفاع ۵۰۰ متری	windspeed50m	۹/۱۶	۰/۱۱



شکل (۴): تأثیرهای تأثیرگذار در مدل‌سازی اشکال فرسایش بادی

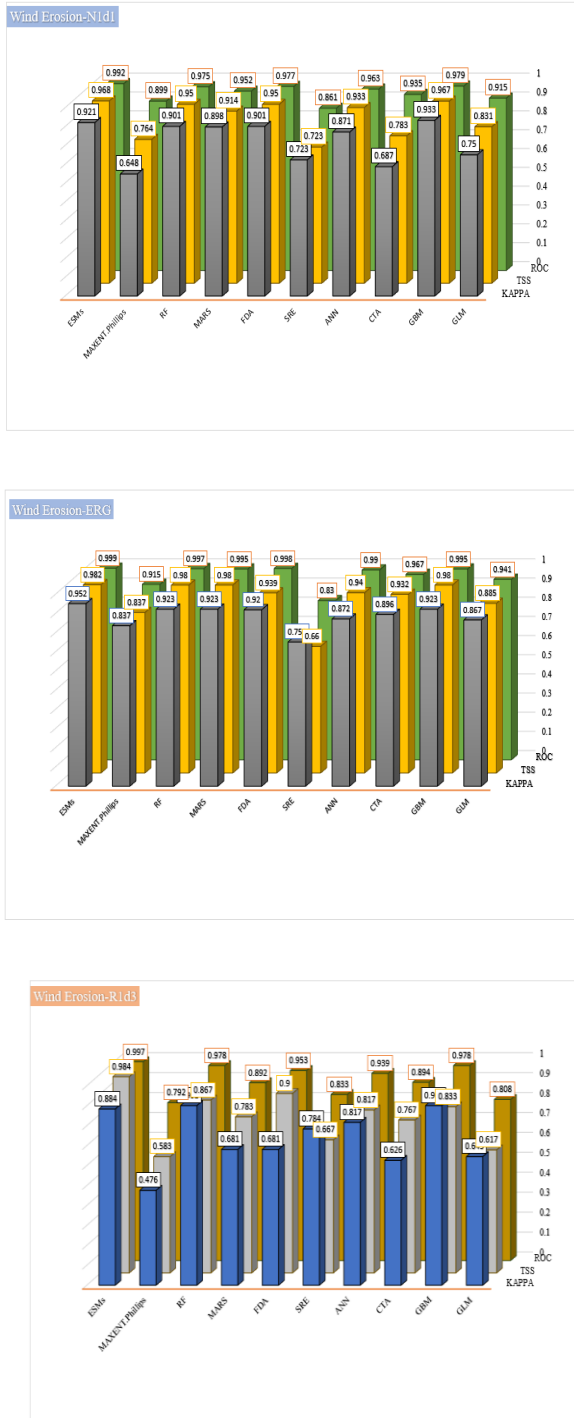
Figure 4(a): Variables selected for wind erosion modeling



شکل (۴ ب): متغیرهای تأثیرگذار در مدل سازی اشکال فرسایش بادی

Figure 4(b): Variables selected for wind erosion modeling

بهینه‌منابع را تسهیل کرده و با اهداف توسعه پایدار همسو است. کاهش تأثیر فرسایش خاک بر اکوسیستم‌ها و معیشت انسان‌ها، از جمله دستاوردهای این رویکرد است (البامری^۴ و همکاران، ۲۰۱۸؛ رحمتی و همکاران، ۲۰۱۷). براساس نتایج حاصل، مدل اجتماعی به عنوان مناسب‌ترین مدل برای تحلیل‌های بعدی انتخاب شد (شکل ۵).



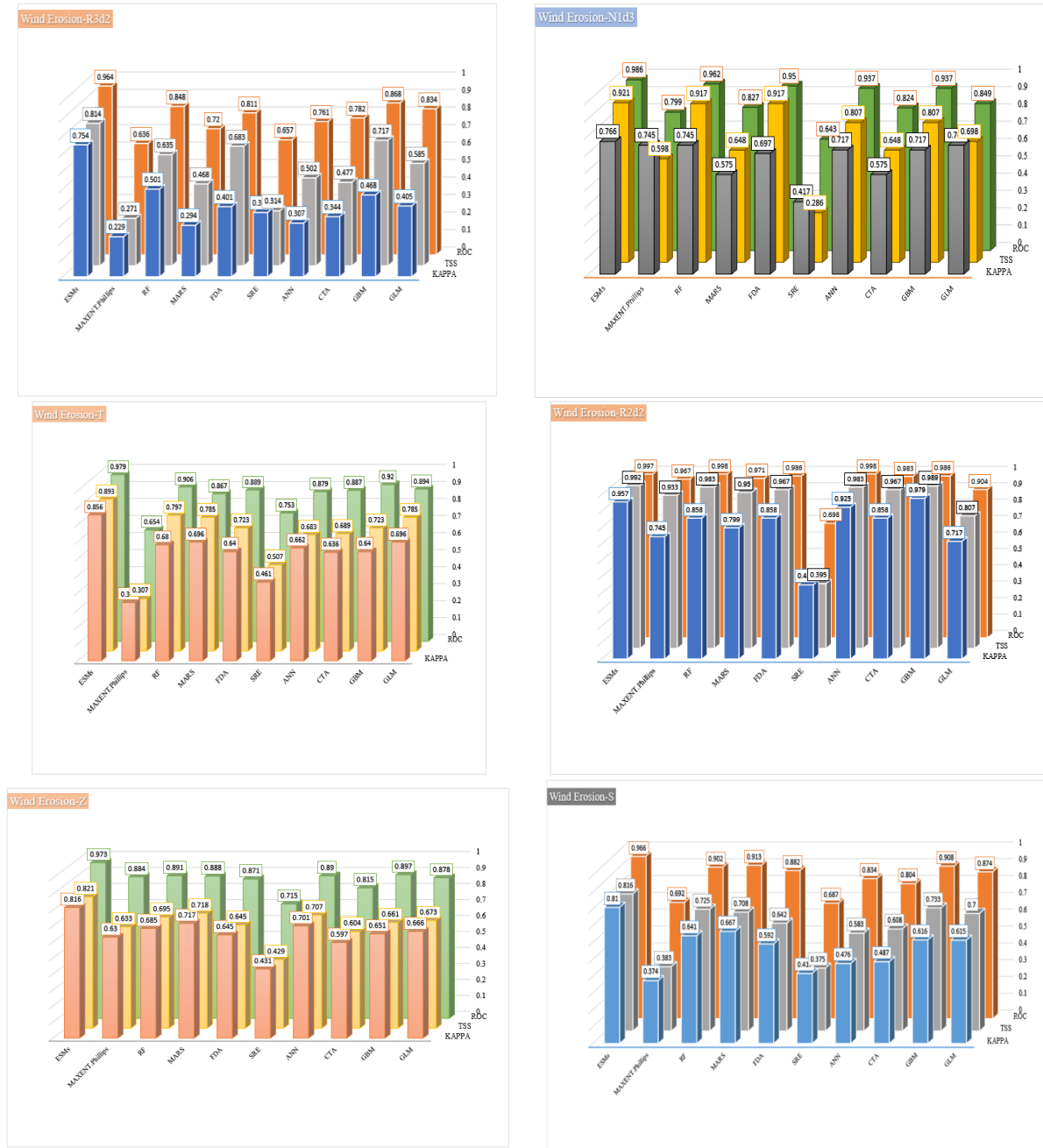
ارزیابی مدل‌های استفاده شده

یافته‌های ارزیابی حساسیت به فرسایش خاک نشان می‌دهد که ترکیب مدل‌های یادگیری ماشین با داده‌های جغرافیایی، تأثیر قابل توجهی بر روش‌های مدیریت زمین دارد. نتایج مدل‌سازی حساسیت به فرسایش خاک که در شکل (۵) ارائه شده، حاکی از دقت بسیار بالای مدل اجتماعی (ESMs) در شناسایی مناطق مستعد فرسایش است. این مدل با کسب بالاترین امتیاز TSS به ترتیب ۰/۹۹۲، ۰/۹۶۸، ۰/۹۲۱، ۰/۹۸۴، ۰/۸۱۴، ۰/۸۲۱ و ۰/۸۹۳، ۰/۸۹۳ و ۰/۸۲۱ برای کلاس‌های فرسایش ارگ، نبکای کوچک با تراکم کم، نبکای کوچک با تراکم زیاد، رگ دانه‌درشت با تراکم زیاد، رگ دانه‌متوسط با تراکم متوسط، رگ دانه‌ریز با تراکم متوسط، فرسایش سطحی به صورت رگ، آثار برداشت و حمل و پهنه‌های ماسه‌ای (شکل ۵)، برتری خود را نسبت به سایر مدل‌ها نشان داده است. این مدل با ترکیب چندین الگوریتم یادگیری ماشین، قدرت تعمیم‌پذیری بالای دارد و می‌تواند در شرایط مختلف محیطی به کار گرفته شود (معماریان و مؤمنی دمنه، ۲۰۲۴). دقت بالای این مدل در شناسایی مناطق با حساسیت بالای فرسایش بادی، امکان اجرای مداخلات هدفمندتری را فراهم می‌آورد. این مداخلات شامل جنگل کاری در کانون‌های بحران، ایجاد تله‌های رسوب‌گیر و بادشکن‌های زنده و غیرزنده در اطراف مزارع، مناطق مسکونی و صنعتی و همچنین مالچ‌پاشی است. این اقدامات نه تنها به جلوگیری از فرسایش خاک کمک شایانی می‌کند بلکه به افزایش بهره‌وری زمین نیز منجر می‌شود. یافته‌های این پژوهش با مطالعات پیشین (موسوی و همکاران، ۲۰۲۰) همسو بوده و بر اهمیت اقدامات هدفمند حفاظت از خاک در افزایش عملکرد کشاورزی و کاهش تخریب محیط‌زیست تأکید دارد. همچنین، این مطالعه مزایای عملی استفاده از مدل‌های یادگیری ماشین در ارزیابی‌های حساسیت به فرسایش خاک را بر جسته می‌سازد (قریانزاده و همکاران، ۲۰۲۰؛ ونگ^۱ و همکاران، ۲۰۲۳؛ فولارینی^۲ و همکاران، ۲۰۲۳؛ نگوین^۳ و همکاران، ۲۰۲۳). کاربرد این بینش‌های مبتنی بر داده در مدیریت زمین، تخصیص

1. Wang

2. Folharini

3. Nguyen

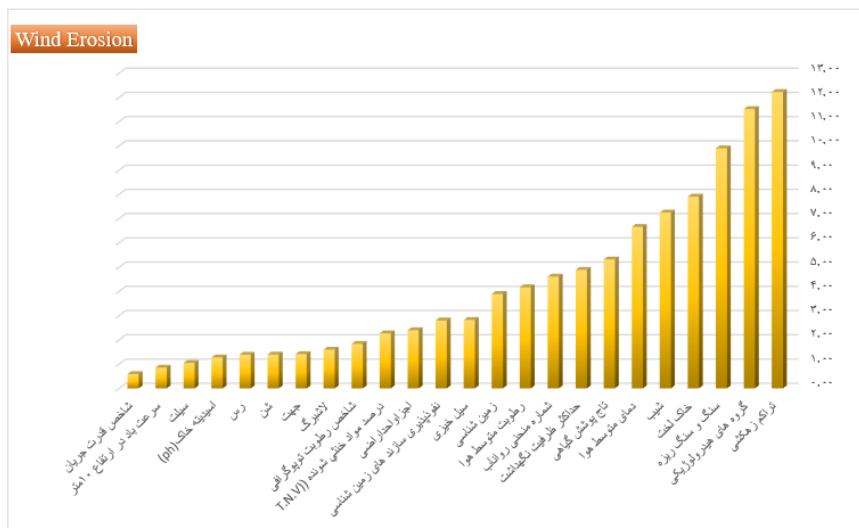


شکل (۵): ارزیابی صحت در مدل‌سازی مکان‌های مستعد فرسایش بادی

Figure (5): Assessment of accuracy in the modeling of wind erosion prone areas

سطحی خاک و خاک‌شناسی نقش بسیار مهمی در پراکنش جغرافیایی انواع فرسایش بادی در حوزه آبخیز مختاران دارند (شکل ۶). این ارزیابی‌ها نشان می‌دهند که می‌توان با استفاده از این مدل، پتانسیل فرسایش خاک را در مناطقی که حساسیت آن‌ها به فرسایش به طور مستقیم مشخص نیست، پیش‌بینی کرد. با این روش، می‌توان مناطق مستعد فرسایش را شناسایی و اقدامات پیشگیرانه مناسب را در اولویت قرار داد.

آنالیز حساسیت متغیرهای محیطی در مدل‌سازی پراکنش مناطق مستعد فرسایش بادی نشان داد که مهم‌ترین عوامل محیطی شامل تراکم زهکشی، گروههای هیدرولوژیکی، فراوانی سنگ و سنگ‌ریزه، درصد خاک لخت، شب، دمای متوسط هوا و پوشش گیاهی هستند. این عوامل بیشترین تأثیر را در توزیع جغرافیایی انواع مختلف فرسایش بادی با شدت‌های متفاوت داشته‌اند (شکل ۶). بررسی اهمیت نسبی تمام عوامل محیطی در منطقه مورد مطالعه نشان داد که عوامل فیزیوگرافی، پوشش



شکل (۶): درصد اهمیت نسبی پارامترهای محیطی اثرگذار در شدت انواع فرسایش بادی

Figure (6): Percentage of relative importance of environmental parameters affecting the intensity of wind erosion types

روزافرون گردوغبار در منطقه مختاران که به یکی از معضلات اجتماعی آن تبدیل شده است، یافته‌های این پژوهش می‌تواند در تدوین راهبردهای مدیریت فرسایش بادی در سطح محلی بسیار مفید باشد.

نتایج حاصل از اجرای مدل جامع ESMs که برای ارزیابی حساسیت به انواع فرسایش بادی طراحی شده بود، با دقت بسیار بالایی به دست آمد. مطابق جدول (۴)، این مدل توانست مساحت و درصد مساحت هریک از طبقات فرسایش بادی در حوزهٔ مختاران را با دقت مشخص کند. با توجه به افزایش

جدول (٤): مساحت و درصد مساحت طبقات اشکال مختلف فرسایش بادی

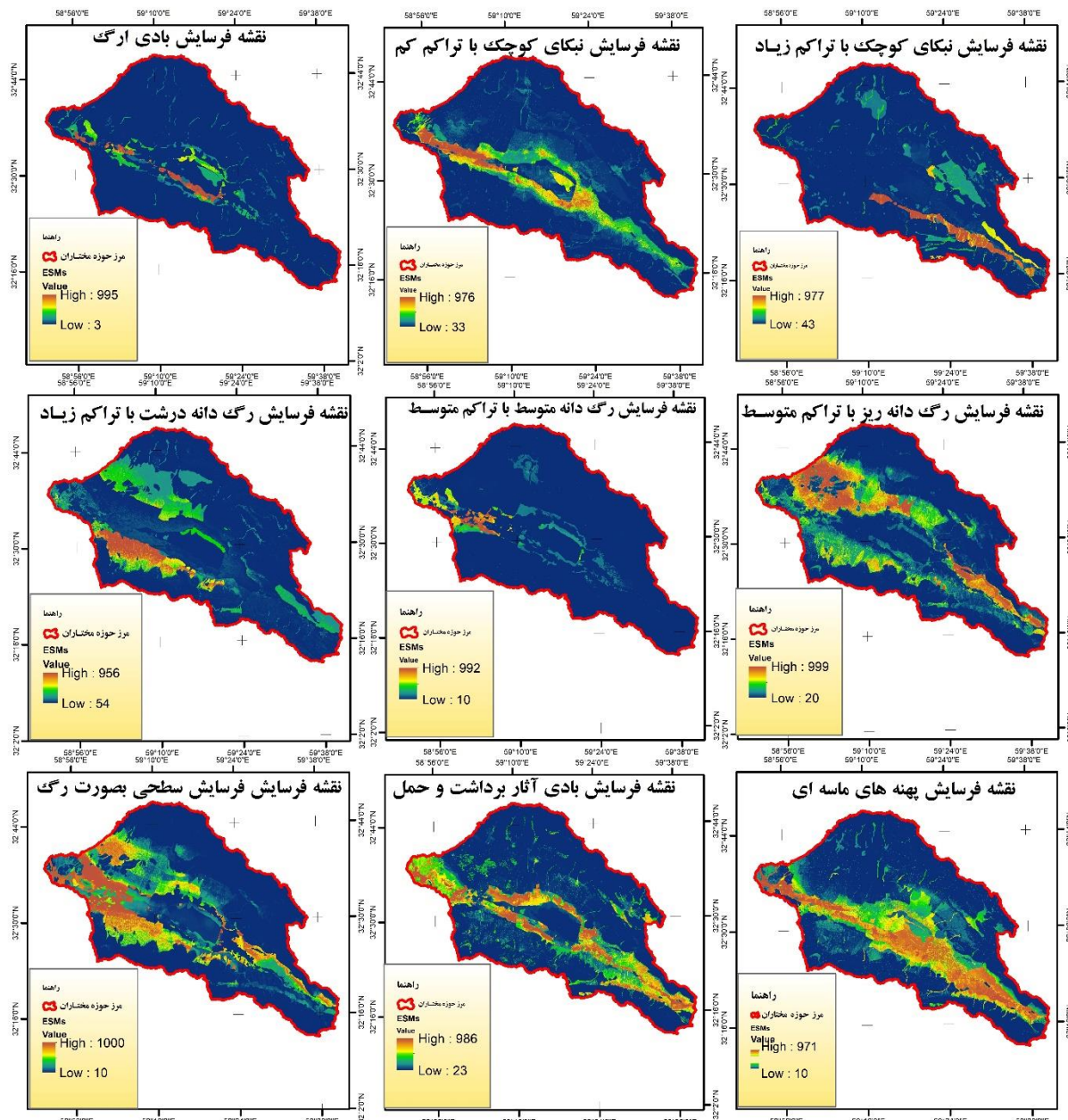
Table (4): Area and percentage of area of different types of wind erosion classes

طبقات شدت فرسایش		فرسایش ارگ		فرسایش نیکای کوچک با تراکم کم		فرسایش نیکای کوچک با تراکم زیاد	
	مساحت (km ²)	مساحت (%)	مساحت (km ²)	مساحت (%)	مساحت (km ²)	مساحت (%)	
کم	۲۲۸۰/۶۱	۹۴/۴۳	۲۰۸۰/۳۵	۸۶/۱۴	۲۲۴۵/۲۱	۹۲/۹۶	
متوسط	۷۶/۵۴	۳/۱۷	۱۴۴/۹۵	۶/۰۰	۶۰/۲۱	۲/۴۹	
زیاد	۱۸/۲۵	۰/۷۶	۱۰۴/۴۰	۴/۳۲	۳۵/۴۶	۱/۴۷	
خیلی زیاد	۳۹/۷۵	۱/۶۵	۸۵/۴۴	۳/۵۴	۷۴/۲۵	۳/۰۷	
طبقات شدت فرسایش		فرسایش رگ دانه متوسط با تراکم متوسط		فرسایش رگ دانه درشت با تراکم زیاد		فرسایش رگ دانه درشت با تراکم زیاد	
	مساحت (km ²)	مساحت (%)	مساحت (km ²)	مساحت (%)	مساحت (km ²)	مساحت (%)	
کم	۲۰۹۱/۵۶	۸۶/۶۰	۲۳۳۱/۲۰	۹۶/۵۲	۱۸۱۵/۹۳	۷۵/۱۹	
متوسط	۱۸۱/۸۷	۷/۰۳	۲۱/۴۹	۰/۸۹	۲۰۶/۲۰	۸/۵۴	
زیاد	۵۱/۳۵	۲/۱۳	۳۴/۴۲	۱/۴۳	۱۴۰/۴۸	۵/۸۵	
خیلی زیاد	۹۰/۳۶	۳/۷۴	۲۸/۰۳	۱/۱۶	۲۵۲/۰۲	۱۰/۴۶	
طبقات شدت فرسایش		فرسایش سطحی به صورت رگ		آثار برداشت و حمل		پهنه‌های ماسه‌ای	
	مساحت (km ²)	مساحت (%)	مساحت (km ²)	مساحت (%)	مساحت (km ²)	مساحت (%)	
کم	۱۸۲۱/۰۳	۷۵/۴۰	۱۸۵۱/۷۴	۷۶/۶۷	۱۷۴۱/۱۰	۷۲/۰۹	
متوسط	۱۸۷/۲۶	۷/۷۵	۲۱۳/۸۴	۸/۸۵	۲۱۴/۹۲	۸/۹۰	
زیاد	۱۴۰/۶۸	۵/۸۳	۱۴۲/۷۹	۵/۹۱	۱۶۹/۰۳	۷/۰۲	
خیلی زیاد	۲۶۶/۱۶	۱۱/۰۲	۲۰۶/۷۵	۸/۰۶	۲۸۹/۰۹	۱۱/۹۹	

شرقی بیشتر است. انواع رگ نیز عمدتاً در نواحی شمال غربی و جنوب شرقی، به ویژه در اطراف نیکاهای، باشدت بیشتری دیده می‌شوند. در برخی مناطق، رخسارهای بادی نیکا و رگ به طور همزمان مشاهده می‌شوند. فرسایش سطحی رگ بیشتر در قسمت‌های شمال غربی و غربی حوزه رخ می‌دهد، درحالی که نیمه شرقی حوضه فرسایش کمتری را تجربه می‌کند. همچنین، پهنه‌های ماسه‌ای عمدتاً از مرکز حوزه به سمت جنوب، جنوب غربی و شرق گسترش یافته‌اند.

نقشه‌های فرسایش بادی

شکل (۷) نقشه‌های تفکیکی انواع فرسایش بادی در حوزه مختاران را نشان می‌دهد. این نقشه‌ها با استفاده از مدل‌های انتخاب شده اجتماعی (ESMs) که بیشترین دقت را در ارزیابی دارند، تهیه شده‌اند. براساس این نقشه‌ها، انواع نیکا و ارگ عمدتاً در نوار مرکزی شمال غربی تا جنوب شرقی حوزه پراکنده شده‌اند. شدت فرسایش بادی از نیکاهای کوچک در مرکز به سمت جنوب شرقی به تدریج افزایش می‌یابد. در عین حال، تراکم نیکاهای در پهنه‌های شمال غربی تا جنوب

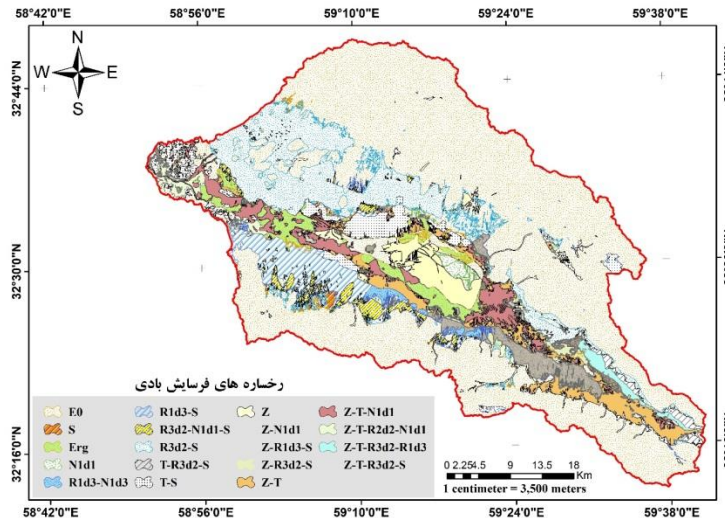


شکل (۷): نقشه‌های حساسیت زمین‌ها به انواع اشکال فرسایش بادی

Figure (7): Maps of land sensitivity to various forms of wind erosion

شدند. با توجه به اهمیت تهیه نقشه کامل از اشکال مختلف فرسایش بادی در هر حوزه آبخیز، به منظور برنامه‌ریزی و مدیریت پایدار و مؤثر برای کنترل فرسایش، نقشه نهایی تهیه و در شکل (۸) نمایش داده شده است.

پس از مدل‌سازی و ارزیابی مدل‌های مورد استفاده، به منظور تهیه نقشه نهایی و جامع از انواع فرسایش بادی، نقشه‌های حاصل از مدل‌های تجمعی فرسایش بادی (ESMs) که عملکرد بهتری از خود نشان داده بودند، با یکدیگر ترکیب



شکل (۸): نقشه ترکیبی اشکال فرسایش بادی

Figure (8): Composite map of wind erosion forms

فرسایش بادی، مستعد فرسایش بادی بوده و پتانسیل بالایی برای وقوع این پدیده را دارد (شکل ۸). این پتانسیل در رخساره‌های تلفیقی به طور قابل توجهی بیشتر از رخساره‌های منفرد فرسایش بادی است.

جدول (۵)، مساحت، شب متوسط و ارتفاع هر واحد طبقه‌بندی را براساس نقشه ترکیبی حاصل از تلفیق عوامل مختلف نشان می‌دهد. بیشترین مساحت (۰.۵۴/۸۴٪) به طبقه‌ای تعلق دارد که کمترین پتانسیل فرسایش بادی را داراست. به طور کلی، ۴۴/۱۶ درصد از کل منطقه، به ویژه در رخساره‌های ترکیبی

جدول (۵): مساحت و درصد فراوانی وقوع طبقات ترکیبی اشکال فرسایش بادی منطقه

Table (5): Area and percentage of occurrence of combined classes of wind erosion forms in the region

نام اختصاری رخساره فرسایشی	مساحت (km ²)	مساحت (%)	ارتفاع حداقل (M)	ارتفاع (M)	ارتفاع متوسط (M)	شب (%)
E0	۱۳۷۲/۶۱	۵۶/۸۴	۱۲۶۹	۲۶۹۰	۱۸۷۵	۱۱/۳۱
Erg	۶۷/۶۴	۲/۸۰	۱۲۸۲	۱۶۱۰	۱۴۶۱	۰/۴۸
N1d1	۱۴/۳۳	۰/۰۹	۱۳۵۵	۱۵۳۲	۱۴۷۹	۰/۱۴
R1d3-N1d3	۱۳/۹۰	۰/۰۸	۱۴۹۶	۲۲۲۵	۱۵۰۶	۱/۰۲
R1d3-S	۹۴/۰۶	۳/۹۲	۱۲۸۸	۱۷۳۷	۱۵۲۰	۱/۱۸
R3d2-N1d1-S	۳۷/۰۰	۱/۰۳	۱۴۰۹	۱۷۶۲	۱۵۷۶	۱/۰۸
R3d2-S	۲۷۸/۰۱	۱۱/۰۱	۱۴۱۵	۱۸۳۵	۱۵۷۵	۱/۴۴
S	۱۵/۶۴	۰/۶۵	۱۳۶۰	۱۸۳۱	۱۶۰۸	۲/۲۸
T-R3d2-S	۱۸/۴۹	۰/۷۷	۱۳۰۹	۱۸۰۱	۱۷۰۰	۲/۰۶
T-S	۹۸/۸۴	۴/۰۹	۱۲۶۰	۲۱۰۸	۱۵۱۲	۱/۰۷
Z	۸۴/۳۰	۳/۴۹	۱۳۴۶	۱۸۶۷	۱۵۱۲	۰/۶۱
Z-N1d1	۱۰/۳۸	۰/۶۴	۱۳۳۰	۱۶۹۹	۱۴۸۷	۰/۰۵
Z-R1d3-S	۰۳/۰۴	۲/۲۲	۱۴۸۳	۱۷۹۹	۱۵۸۰	۱/۲۱
Z-R3d2-S	۱۷/۶۴	۰/۷۳	۱۳۰۱	۱۷۴۲	۱۵۷۴	۱/۲۵
Z-T	۹۷/۳۴	۴/۰۳	۱۲۶۰	۱۸۹۲	۱۵۹۳	۱/۰۶
Z-T-N1d1	۸۷/۸۲	۳/۶۴	۱۲۶۱	۱۷۱۶	۱۴۷۰	۰/۴۰
Z-T-R2d2-N1d1	۱۷/۶۰	۰/۷۳	۱۲۶۰	۱۴۸۱	۱۳۵۴	۱/۳۷
Z-T-R3d2-R1d3	۱۵/۷۸	۰/۶۵	۱۵۱۷	۱۷۶۱	۱۶۷۱	۱/۹۱
Z-T-R3d2-S	۱۴/۳۹	۰/۶۰	۱۲۶۰	۱۷۵۳	۱۵۲۷	۱/۱۷

بحث و نتیجه‌گیری

براساس شاخص‌های ارزیابی، در سطح بسیار عالی قرار گرفته است (شکل ۵). نتایج این پژوهش حاکی از آن است که تلفیق روش‌های سنجش از دور، سیستم اطلاعات جغرافیایی و مدل‌های یادگیری ماشین (مانند مدل‌های تجمعی) ابزاری قادرمند برای ارزیابی حساسیت مناطق به فرسایش بادی است. یافته‌های این مطالعه با مطالعات پیشین که از مدل‌های ماشین بردار پشتیبان برای تهیه نقشه‌های حساسیت به فرسایش استفاده کرده‌اند، همخوانی دارد. با توجه به توانایی بالای روش‌های یادگیری ماشین در درک الگوهای پیچیده در داده‌های محیطی، انتظار می‌رود که این روش‌ها در آینده نقش مهمی در مدیریت مخاطرات طبیعی ایفا کنند. نتایج این پژوهش نشان می‌دهد که عوامل فیزیوگرافیک و پوشش گیاهی نقش کلیدی در کنترل فرسایش بادی در حوزه آبخیز مختاران دارند. این یافته‌ها می‌تواند در تدوین برنامه‌های مدیریت پایدار خاک و آب در این منطقه و سایر مناطق مشابه مورد استفاده قرار گیرد. همچنین، ضرورت اجرای اقدامات آبخیزداری در مناطق مستعد فرسایش مجاور شبکه زهکشی، به‌ویژه در شرایط اقلیمی خشک و نیمه‌خشک، مورد تأکید است. با وجود پیشرفت‌های روش‌های مدل‌سازی، این مطالعه با چندین محدودیت مواجه است که می‌تواند بر دقت و تعیین‌پذیری نتایج تأثیر بگذارد. یکی از محدودیت‌های مهم، وابستگی به کیفیت و وضوح داده‌های ورودی است که می‌تواند مستقیماً بر دقت خروجی‌های مدل تأثیر بگذارد (اولی و همکاران، ۲۰۲۱). برای مثال، توانایی مدل‌ها در طبقه‌بندی دقیق مناطق به کلاس‌های مختلف فرسایش بادی، بهشت به کیفیت و دقت داده‌های جغرافیایی وابسته است. تعیین‌پذیری این یافته‌ها همچنین ممکن است با ویژگی‌های خاص محیطی و جغرافیایی منطقه مورد مطالعه محدود شود و اعمال نتایج را در مناطق با اقلیم، نوع خاک و الگوهای کاربری زمین متفاوت چالش‌برانگیز کند (سناییک^۴ و همکاران، ۲۰۲۰). این محدودیت‌ها اهمیت تفسیر سناییک^۴ و همکاران، ۲۰۲۰. این محدودیت‌ها اهمیت تفسیر دقیق نتایج و اعتبار سنجی مدل‌ها با مجموعه داده‌های مستقل را برای اطمینان از قابلیت اطمینان آنها بر جسته می‌کند (کنوستی^۵ و همکاران، ۲۰۱۴). پژوهش‌های آینده باید بر رفع این

حوزه آبخیز مورد مطالعه با چالش جدی تخریب اراضی به‌واسطه انواع فرسایش بادی مواجه است. این مسئله نه تنها بر اقتصاد منطقه تأثیرگذار بوده، بلکه اکو سیستم طبیعی را نیز تحت فشار قرار داده است. به‌منظور شناسایی دقیق مناطق مستعد فرسایش و اتخاذ راهکارهای مدیریتی مناسب، از روش‌های یادگیری ماشین و پارتبیشن‌بندی تصادفی نمونه‌ها استفاده شد. هدف اصلی این پژوهش، تعیین مدل بهینه برای پیش‌بینی حساسیت به انواع فرسایش و ارائه چارچوبی مفهومی برای آماده‌سازی و تقسیم‌بندی داده‌ها برای دستیابی به بالاترین دقت پیش‌بینی بود. با توجه به وسعت منطقه و محدودیت‌های اندازه‌گیری مستقیم فرسایش، مدل‌سازی، به‌ویژه با استفاده از هوش مصنوعی، به‌دلیل دقت بالا، سادگی و نیاز کم به داده، به عنوان روشی مناسب انتخاب شد. در این مطالعه، ۱۰ مجموعه داده آموزشی برای مدل‌سازی فرسایش بادی ایجاد شد. انتخاب دقیق متغیرهای ورودی به عنوان یکی از مراحل کلیدی در مدل‌سازی، نقش بسزایی در دقت نتایج دارد. مطالعات پیشین نشان داده‌اند که تعداد و نوع متغیرهای ورودی در مدل‌های فرسایش لزوماً ثابت نیست و به دیدگاه محقق و اهداف پژوهش بستگی دارد (جالی و همکاران، ۲۰۲۳؛ معماریان و مؤمنی دمنه، ۲۰۲۴ و ۲۰۲۵). با این حال، برخی متغیرها مانند NDVI و شب زمین به طور معمول در این مدل‌ها مورد استفاده قرار می‌گیرند (کان^۱ و همکاران، ۲۰۱۹؛ شهری^۲ و همکاران، ۲۰۱۹؛ گوس‌پنافیل و هرناندز روخاس، ۲۰۲۱؛ جالی و همکاران، ۲۰۲۳). نقشه‌های تولیدشده براساس چهار کلاس حساسیت به فرسایش (کم، متوسط، شدید و خیلی شدید) طبقه‌بندی شدند (جدول ۴، شکل ۷). برای ارزیابی پایداری مدل‌های تولیدشده، از ۱۰ مجموعه داده متفاوت استفاده شد و شاخص‌های کاپا، حساسیت و ویژگی (TSS) و منحنی مشخصه عملیاتی گیرنده (ROC) به کار گرفته شد. نتایج ارزیابی نشان داد که مدل تجمعی (ESMs) در مقایسه با سایر مدل‌ها، عملکرد بهتری در پیش‌بینی همه انواع فرسایش داشته و

1. Can

2. Shahri

3. Goes-Penafiel & Hernandez-Rojas

سپاسگزاری

بدین وسیله از اداره کل منابع طبیعی و آبخیزداری خراسان جنوبی به‌سبب در اختیار قرار دادن داده‌های لازم برای انجام این پژوهش سپاسگزاری می‌شود.

محدودیت‌ها با بررسی راه‌های جدید برای افزایش دقت و قابلیت کاربرد مدل‌های حساسیت فرایش خاک متمرکز شوند. برای مثال، استفاده از داده‌های فضایی با وضوح بالاتر می‌تواند عملکرد مدل را با ارائه ورودی‌های دقیق‌تر بهبود بخشد که به‌ویژه در اصلاح طبقه‌بندی مناطق با حساسیت به فرایش خاک بسیار بالا یا بسیار پایین، مفید خواهد بود. همچنین می‌توان اثربخشی مدل‌های ML پیشرفته‌تر مانند یادگیری عمیق را که ممکن است بهتر بتوانند تعاملات پیچیده بین متغیرهای محیطی و فرایندهای فرایش خاک را درک کنند، بررسی کرد (خسروی و همکاران، ۲۰۲۳). علاوه‌بر این، مطالعات آینده باید از ادغام داده‌های فناوری‌های سنجش از دور را برای امکان‌پذیر کردن پایش دینامیک حساسیت فرایش خاک بررسی کنند (موساسا^۱ و همکاران، ۲۰۲۴). این رویکرد می‌تواند به‌طور قابل توجهی پاسخ‌گویی راهبردهای مدیریت زمین را به تغییرات محیطی جاری افزایش دهد و با نیاز به چارچوب‌های انطباق‌پذیرتر و مقاوم‌تر برای ارزیابی حساسیت فرایش خاک و مدیریت محیطی همسو شود (اجگو و یگیزاو، ۲۰۲۱).

مطالعه حاضر نشان داد که مدل تجمیعی (ESMs) با دقت بسیار بالا قادر به شناسایی مناطق مستعد فرایش بادی است و می‌تواند به عنوان ابزاری مؤثر در مدیریت و برنامه‌ریزی برای مقابله با این پدیده مورد استفاده قرار گیرد. با این حال، محدودیت‌هایی نظری کیفیت داده‌های ورودی و ویژگی‌های خاص منطقه مورد مطالعه می‌توانند بر دقت و قابلیت تعمیم نتایج تأثیر بگذارند. بنابراین، در پژوهش‌های آینده، تمرکز بر رفع این محدودیت‌ها و استفاده از داده‌های با وضوح بالاتر و مدل‌های پیشرفته‌تر می‌تواند به بهبود دقت و قابلیت کاربرد مدل‌های حساسیت فرایش خاک کمک کند. با پرداختن به این حوزه‌ها، پژوهش‌های آینده می‌توانند در توسعه مدل‌های قوی‌تر و جامع‌تر که نه تنها دقت پیش‌بینی را بهبود می‌بخشند، بلکه قابلیت کاربرد ارزیابی‌های SES را در زمینه‌های محیطی متنوع گسترش می‌دهند، سهیم باشند.

1. Musasa

2. Ejegu & Yegizaw

منابع

1. Al-Bawi, A. J., Al-Abadi, A. M., Pradhan, B., & Alamri, A. M. (2021). Assessing gully erosion susceptibility using topographic derived attributes, multi-criteria decision-making, and machine learning classifiers. *Geomatics, Natural Hazards and Risk*, 12(1), 3035–3062. <https://doi.org/10.1080/19475705.2021.1994024>
2. Almouctar, M. A. S., Wu, Y., Zhao, F., & Dossou, J. F. (2021). Soil erosion assessment using the rusle model and geospatial techniques (Remote sensing and gis) in south-central niger (maradi region). *Water (Switzerland)*, 13(24). <https://doi.org/10.3390/w13243511>
3. Arabameri, A., Cerdá, A., & Tiefenbacher, J. P. (2019). Spatial pattern analysis and prediction of gully erosion using novel hybrid model of entropy-weight of evidence. *Water (Switzerland)*, 11(6), 1–23. <https://doi.org/10.3390/w11061129>
4. Arabameri, A., Pradhan, B., Pourghasemi, H. R., & Rezaei, K. (2018). Identification of erosion-prone areas using different multi-criteria decision-making techniques and gis. *Geomatics, Natural Hazards and Risk*, 9(1), 1129–1155. <https://doi.org/10.1080/19475705.2018.1513084>
5. Can, A., Dagdelenler, G., Ercanoglu, M., & Sonmez, H. (2019). Landslide susceptibility mapping at Ovacık-Karabük (Turkey) using different artificial neural network models: comparison of training algorithms. *Bulletin of Engineering Geology and the Environment*, 78, 89–102. <https://doi.org/10.1007/s10064-017-1034-3>
6. Conoscenti, C., Angileri, S., Cappadonia, C., Rotigliano, E., Agnesi, V., & Märker, M. (2014). Gully erosion susceptibility assessment by means of GIS-based logistic regression: A case of Sicily (Italy). *Geomorphology*, 204, 399–411. <https://doi.org/10.1016/j.geomorph.2013.08.021>
7. Craney, T. A., & Surles, J. G. (2002). Model-dependent variance inflation factor cutoff values[J]. *Quality Engineering*, 2002(14), 391–403. <https://doi.org/10.1081/QEN-120001878>
8. Ejegu, M. A., & Yegizaw, E. S. (2021). Modeling soil erosion susceptibility and LULC dynamics for land degradation management using geoinformation technology in Debre Tabor district, Northwestern highlands of Ethiopia. *J. Degrade. Min. Land Manage.*, 8(2), 2623–2633. <https://doi.org/10.15243/jdmlm.2021.082.2623>
9. Fielding, A. H., & Bell, J. F. (1997). A review of methods for the assessment of prediction errors in conservation presence/absence models. *Environmental conservation*, 24(1), 38-49.
10. Folharini, S., Vieira, A., Bento-Gonçalves, A., Silva, S., Marques, T., & Novais, J. (2023). Soil Erosion Quantification using Machine Learning in Sub-Watersheds of Northern Portugal. *Hydrology*, 10(1). <https://doi.org/10.3390/hydrology10010007>
11. Galton, F. (1892). *Finger prints* (No. 57490-57492). Macmillan and Company.
12. Gayen, A., Pourghasemi, H. R., Saha, S., Keesstra, S., & Bai, S. (2019). Gully erosion susceptibility assessment and management of hazard-prone areas in India using different machine learning algorithms. *Science of the Total Environment*, 668, 124–138. <https://doi.org/10.1016/j.scitotenv.2019.02.436>
13. Ghorbanzadeh, O., Shahabi, H., Mircholi, F., Valizadeh Kamran, K., Lim, S., Aryal, J., Jarhani, B., & Blaschke, T. (2020). Gully erosion susceptibility mapping (GESM) using machine learning methods optimized by the multi-collinearity analysis and K-fold cross-validation. *Geomatics, Natural Hazards and Risk*, 11(1), 1653–1678. <https://doi.org/10.1080/19475705.2020.1810138>
14. Golijanin, J., Nikolić, G., Valjarević, A., Ivanović, R., Tunguz, V., Bojić, S., Grmuša, M., Lukić Tanović, M., Perić, M., Hrelja, E., & Stankov, S. (2022). Estimation of potential soil erosion reduction using GISbased RUSLE under different land cover management models: A case study of Pale Municipality, B&H. *Frontiers in Environmental Science*, 10(August), 1–13. <https://doi.org/10.3389/fenvs.2022.945789>
15. Golkarian, A., Khosravi, K., Panahi, M., & Clague, J. J. (2023). Spatial variability of soil water erosion: Comparing empirical and intelligent techniques. *Geoscience Frontiers*, 14(1), 101456. <https://doi.org/10.1016/j.gsf.2022.101456>
16. Goyes-Peñaflor, P., & Hernandez-Rojas, A. (2021). Doble evaluación de la susceptibilidad por movimientos en masa basada en redes neuronales artificiales y pesos de evidencia. *Boletín de Geología*, 43(1), 173-191. DOI: 10.18273/revbol.v43n1-2021009
17. Huang, D., Su, L., Zhou, L., Tian, Y., & Fan, H. (2023). Assessment of gully erosion susceptibility using different DEM-derived topographic factors in the black soil region of Northeast China. *International Soil and Water Conservation Research*, 11(1), 97–111. <https://doi.org/10.1016/j.iswcr.2022.04.001>
18. Jalali, M., Gholami, H., Rezaie, M., & Omidvar, E. (2023). Integrated Modeling of Soil Erosion by Water and Wind Using Machine Learning Methods. *Watershed Management Research Journal*, 36(3), 128-145. doi: 10.22092/wmrj.2022.358127.1458
19. Khosravi, K., Rezaie, F., Cooper, J. R., Kalantari, Z., Abolfathi, S., & Hatamiafkoueih, J. (2023). Soil water erosion susceptibility assessment using deep learning algorithms. *Journal of Hydrology*, 618. <https://doi.org/10.1016/j.jhydrol.2023.129229>
20. Kucuker, D. M., & Cedano Giraldo, D. (2022). Assessment of soil erosion risk using an integrated

- approach of GIS and Analytic Hierarchy Process (AHP) in Erzurum, Turkiye. *Ecological Informatics*, 71, 101788. <https://doi.org/https://doi.org/10.1016/j.ecoinf.2022.101788>
21. Kutner, M. H., Nachtsheim, C., & Neter, J. (2004). *Applied linear regression models*. McGraw-Hill/Irwin.
22. Memarian H, & Momeni Damaneh J. (2024). Evaluating the efficiency of different machine learning models in extracting the map of erosion forms of arid watersheds (Case study: Mukhtaran plain watershed, South Khorasan, Iran). *E.E.R.*, 14 (4), 119-145. <http://magazine.hormozgan.ac.ir/article-1-856-fa.html>
23. Momeni Damaneh, J., Ahmadi, J., & Jafarpour Chekab, Z. (2023b). Identification of Suitable Areas for Cultivation of Saffron (*Crocus sativus L.*) Using Artificial Intelligence-Based Models in Khorasan Razavi Province. *Journal of Saffron Research*, 11(2), 328-345. doi: 10.22077/jsr.2024.7137.1231
24. Momeni Damaneh, J., Memarian, H. and Safdari, A. A. (2025). Machine Learning Techniques for Gully Erosion Susceptibility Mapping (Case Study: Mukhtaran Watershed, South Khorasan Province, Iran). *Sustainable Earth Trends*, doi: 10.48308/set.2025.237956.1093
25. Momeni Damaneh, J., Tajbakhsh, S. M., Ahmadi, J., & Safdari, A. A. (2022). Comparison of species distribution models in determining the habitat landscape of *Pistacia vera L.* specie in Razavi Khorasan province. *Water and Soil Management and Modelling*, 3(4), 77-92. doi: 10.22098/mmws.2022.11698.1160
26. Momeni Damaneh, J., Tajbakhsh, S. M., Ahmadi, J., & Safdari, A. A. (2023a). Determining The Areas Prone to The Growth of *Rhume ribes L.* Specie in Razavi Khorasan Province Using Vector Machine Models. *Water and Soil Management and Modelling*, doi: 10.22098/mmws.2023.12726.1276. [In Persian].
27. Mosavi, A., Sajedi-Hosseini, F., Choubin, B., Taromideh, F., Rahi, G., & Dineva, A. A. (2020). Susceptibility mapping of soil water erosion using machine learning models. *Water (Switzerland)*, 12(7). <https://doi.org/10.3390/w12071995>
28. Musasa, T., Dube, T., & Marambanya, T. (2024). Landsat satellite programme potential for soil erosion assessment and monitoring in arid environments: A review of applications and challenges. *International Soil and Water Conservation Research*, 12(2), 267–278. <https://doi.org/10.1016/j.iswcr.2023.10.003>
29. Nguyen, C. Q., Tran, T. T., Nguyen, T. T. T., Nguyen, T. T., Astarkhanova, T. S., Vu, L. V., Dau, K. T., Nguyen, H. N., Pham, G. H., Nguyen, D. D., Prakash, I., & Pham, B. (2023). Mapping of soil erosion susceptibility using advanced machine learning models at Nghe An, Vietnam. *Journal of Hydroinformatics*, 26(1). <https://doi.org/10.2166/hydro.2023.327>
30. Olii, M. R., Kironoto, B. A., Olii, A., Pakaya, R., & Olii, A. K. Z. (2024b). Advancing Soil Erosion Assessment: Application of Remote Sensing and Geospatial Techniques in Bulango Ulu Reservoir Basin. *E3S Web of Conferences*, 476, 1–15. <https://doi.org/10.1051/e3sconf/202447601041>
31. Olii, M. R., Olii, A. K. Z., Olii, A., Pakaya, R., & Kironoto, B. A. (2024a). Spatial modeling of soil erosion risk a multi-criteria decision-making (MCDM) approach in the paguyaman watershed, gorontalo, Indo.pdf. *Arabian Journal of Geosciences*, 17(226), 1–13. <https://doi.org/https://doi.org/10.1007/s12517-024-12032-0>
32. Olii, M. R., Olii, A., & Pakaya, R. (2021). The Integrated Spatial Assessment of The Flood Hazard Using AHP-GIS: The Case Study of Gorontalo Regency. *Indonesian Journal of Geography*, 53(1), 126–135. <https://doi.org/10.22146/ijg.59999>
33. Olii, M. R., Olii, A., Pakaya, R., & Olii, M. Y. U. P. (2023). GIS-based analytic hierarchy process (AHP) for soil erosion-prone areas mapping in the Bone Watershed, Gorontalo, Indonesia. *Environmental Earth Sciences*, 82(9), 1–14. <https://doi.org/10.1007/s12665-023-10913-3>
34. Pal, S.C., Arabameri, A., Blaschke, T., Chowdhuri, I., Saha, A., Chakrabortty, R., Lee, S. & Band, S.S. (2020). Ensemble of machine-learning methods for predicting gully erosion susceptibility. *Remote Sensing*, 12(22), p.3675. <https://doi.org/10.3390/rs12223675>
35. Phinzi, K., & Szabó, S. (2024). Predictive machine learning for gully susceptibility modeling with geoenvironmental covariates: main drivers, model performance, and computational efficiency. In *Natural Hazards* (Vol. 120, Issue 8). Springer Netherlands. <https://doi.org/10.1007/s11069-024-06481-9>
36. Rahmati, O., Tahmasebipour, N., Haghizadeh, A., Pourghasemi, H. R., & Feizizadeh, B. (2017). Evaluating the influence of geo-environmental factors on gully erosion in a semi-arid region of Iran: An integrated framework. *Science of the Total Environment*, 579, 913–927. <https://doi.org/10.1016/j.scitotenv.2016.10.176>
37. Saha, S. (2017). Groundwater potential mapping using analytical hierarchical process: a study on Md. Bazar Block of Birbhum District, West Bengal. *Spatial Information Research*, 25(4), pp.615-626. <https://doi.org/10.1007/s41324-017-0127-1>
38. Saini, S. S., Jangra, R., & Kaushik, S. P. (2015). Vulnerability Assessment of Soil Erosion Using Geospatial Techniques-a Pilot Study of Upper Catchment of Markanda River. *Research Article*

- International Journal of Advancement in Remote Sensing*, 3(1), 9–21.
39. Senanayake, S., Pradhan, B., Huete, A., & Brennan, J. (2020). A review on assessing and mapping soil erosion hazard using geo-informatics technology for farming system management. *Remote sensing*, 12(24), 4063.<https://doi.org/10.3390/rs12244063>
40. Shahri, A. A., Spross, J., Johansson, F., & Larsson, S. (2019). Landslide susceptibility hazard map in southwest Sweden using artificial neural network. *Catena*, 183, 104225.DOI: 10.1016/j.catena.2019.104225
41. Shirani, K., Pasandi, M., & Arabameri, A. (2018). Landslide susceptibility assessment by Dempster-Shafer and index of entropy models, Sarkhoun basin, Southwestern Iran. *Natural Hazards*, 93(3), 1379–1418. <https://doi.org/10.1007/s11069-018-3356-2>
42. Smeeton, N. C. (1985). Early history of the kappa statistic. *Biometrics*, 41, 795.
43. Swets, J. A. (1988). Measuring the accuracy of diagnostic systems. *Science*, 240(4857), 1285–1293.
44. Thuiller, W., Lafourcade, B., Engler, R., & Araújo, M. B. (2009). BIOMOD—a platform for ensemble forecasting of species distributions. *Ecography*, 32(3), 369–373.
45. Walther, G. R., Post, E., Convey, P., Menzel, A., Parmesan, C., Beebee, T. J., ... & Bairlein, F. (2002). Ecological responses to recent climate change. *Nature*, 416(6879), 389–395.
46. Wang, Y., Zhang, Y., & Chen, H. (2023). Gully erosion susceptibility prediction in Mollisols using machine learning models. *Journal of Soil and Water Conservation*, 78(5), 385–396. <https://doi.org/10.2489/jswc.2023.00019>
47. Yi, Y. J., Cheng, X., Yang, Z. F. & Zhang, S. H. (2016). Maxent modeling for predicting the potential distribution of endangered medicinal plant (*H. riparia* Lour) in Yunnan, China. *Ecological Engineering*, (92), 260–269.

Machine Learning-Based Decision Support System for Sustainable Wind Erosion Management

Javad momeni damaneh,¹  Hadi Memarian^{2*} 

Received: 19/01/2025

Accepted: 17/03/2025

Extended abstract

Introduction: Soil erosion, a critical environmental issue, endangers ecosystems, agriculture, and food security. This study aims to develop a precise and comprehensive method for assessing soil vulnerability to erosion by exploring various advanced statistical and machine learning models. Combining spatial modeling and machine learning, this research seeks to create a model capable of accurately simulating complex soil erosion processes and identifying erosion-prone areas with high precision. Our findings reveal that machine learning models like Random Forest and Artificial Neural Networks excel at predicting soil vulnerability. This breakthrough can significantly aid in management planning to mitigate soil erosion and conserve natural resources.

Materials and methods: To comprehensively assess wind erosion in the study area, a multi-stage approach was employed. Initially, a robust foundation for subsequent analyses was established by gathering diverse data, including high-resolution topographic maps, vegetation cover, and soil and geology data, all integrated using GIS. Subsequently, high-quality aerial imagery and extensive field visits were utilized to precisely locate wind erosion points. This step was crucial for ensuring the accuracy and reliability of modeling input data. During field visits, a GPS device was used to record the exact locations of various wind erosion types, such as ripples, dunes of varying density, ridges with different grain sizes and densities, surface erosion in the form of ridges, signs of erosion and transport, and sand plains. Following data collection, we proceeded to identify and select environmental variables that significantly influence wind erosion. From the 25 identified environmental variables, suitable variables for modeling were selected using statistical analysis and the Variance Inflation Factor (VIF) criterion, ensuring a value less than 10. This step aimed to reduce multicollinearity among variables and enhance model accuracy. To model the spatial distribution of wind erosion, a wide range of machine learning algorithms were employed. These algorithms included GLM, GBM, CTA, ANN, SRE, FDA, MARS, RF, and MaxEnt, along with a powerful ensemble model (ESMs) developed in R software. The selection of these algorithms was based on the complex nature of wind erosion and the superior ability of these algorithms to model nonlinear relationships. The data was divided into training and validation sets with a 70:30 ratio and repeated five times for model robustness. To evaluate the accuracy of the developed models, common statistical indices such as ROC, TSS, and Kappa were used. These indices represent the model's ability to discriminate between erosion and non-erosion points, overall model accuracy, and agreement between the model and observed data, respectively. By comparing these indices for different models, the optimal model for predicting wind erosion distribution was selected.

Results: Finally, the generated maps were classified into four classes based on erosion sensitivity: low, moderate, high, and very high. These maps graphically illustrate areas with a high potential for erosion and can be used as a management tool for planning and implementing erosion control measures. Among the 25 environmental variables examined, 23 variables with a Variance Inflation Factor (VIF) of less than 10 were selected for the final model to minimize multicollinearity. This careful selection of variables significantly improved model accuracy and reduced errors in the results. Based on the stability results, the ensemble models

1. Department of Natural Resources Engineering, Agriculture and Natural Resources Faculty, Hormozgan University, Bandarabbas, Iran. Email: j.momenidamaneh.phd@hormozgan.ac.ir

2. Associate Professor, Department of Watershed Management, Faculty of Natural Resources and Environment, University of Birjand, Birjand, Iran. Email: hadi_memarian@birjand.ac.ir

(ESMs) demonstrated the best overall performance in predicting all forms of wind erosion, including ergs, low-density small dunes, high-density small dunes, high-density coarse-grained ridges, medium-density medium-grained ridges, medium-density fine-grained ridges, surface erosion in the form of ridges, removal and transport traces, and sandy areas, with respective accuracies of 0.982, 0.968, 0.921, 0.984, 0.992, 0.814, 0.816, 0.893, and 0.821. These models achieved very high accuracy in all three evaluation criteria. By combining multiple machine learning algorithms, this model has high generalizability and can be applied to various environmental conditions. Some of the most important environmental variables affecting the potential of wind erosion include drainage density, hydrological groups, frequency of rocks and pebbles, percentage of bare soil, slope, average air temperature, and vegetation cover. These variables indicate that various natural and human factors influence the wind erosion process. Modeling results indicated that nebkas and ergs were primarily distributed in the central part of the basin, while surface erosion was more prevalent in the northwestern and western regions. These spatial patterns highlight the influence of various topographic, vegetation, and climatic factors on wind erosion distribution within the basin.

Conclusion: The significance of this research lies in its ability to empower natural resource planners and managers to accurately identify critical areas susceptible to erosion. By utilizing this information, targeted management practices, such as afforestation, windbreak establishment, mulching, and proper rangeland management, can be strategically implemented in vulnerable areas. These measures not only mitigate wind erosion and conserve soil but also contribute to improved air quality, enhanced biodiversity, and ecosystem sustainability. Machine learning models offer numerous advantages for wind erosion assessment. These models provide a powerful tool for accurate and generalizable prediction and monitoring of soil erosion. Furthermore, they enable the evaluation of the impact of climate change and land use changes on wind erosion, facilitating long-term strategic planning for sustainable water and soil resource management. Additionally, these models can optimize the costs of implementing management measures and enhance their effectiveness. In conclusion, this study demonstrates the significant potential of machine learning models in assessing and managing wind erosion. By employing these models, a deeper understanding of complex wind erosion processes can be achieved, enabling the design and implementation of effective and adaptive management strategies to conserve natural resources and protect the environment.

Keyword: Erosion susceptibility, Risk assessment, Remote sensing data, Spatial data, Ensemble model, Natural resource management.